

Universidad Autónoma de Coahuila  
Facultad de Ciencias Físico Matemáticas

# Geometría cuántica en materiales bidimensionales

TESIS PRESENTADA POR:

Luis Eduardo Sánchez González

PARA OBTENER EL TÍTULO DE INGENIERO FÍSICO

DIRECTORES:

Dr. Pierre Anthony Pantaleón Peralta (IMDEA Nanociencia)

Dr. Carlos Eduardo Rodríguez García (UAdeC)

Saltillo, Coahuila, México a 28 de Abril de 2023



Universidad  
Autónoma  
de Coahuila



instituto  
**imdea**  
nanociencia

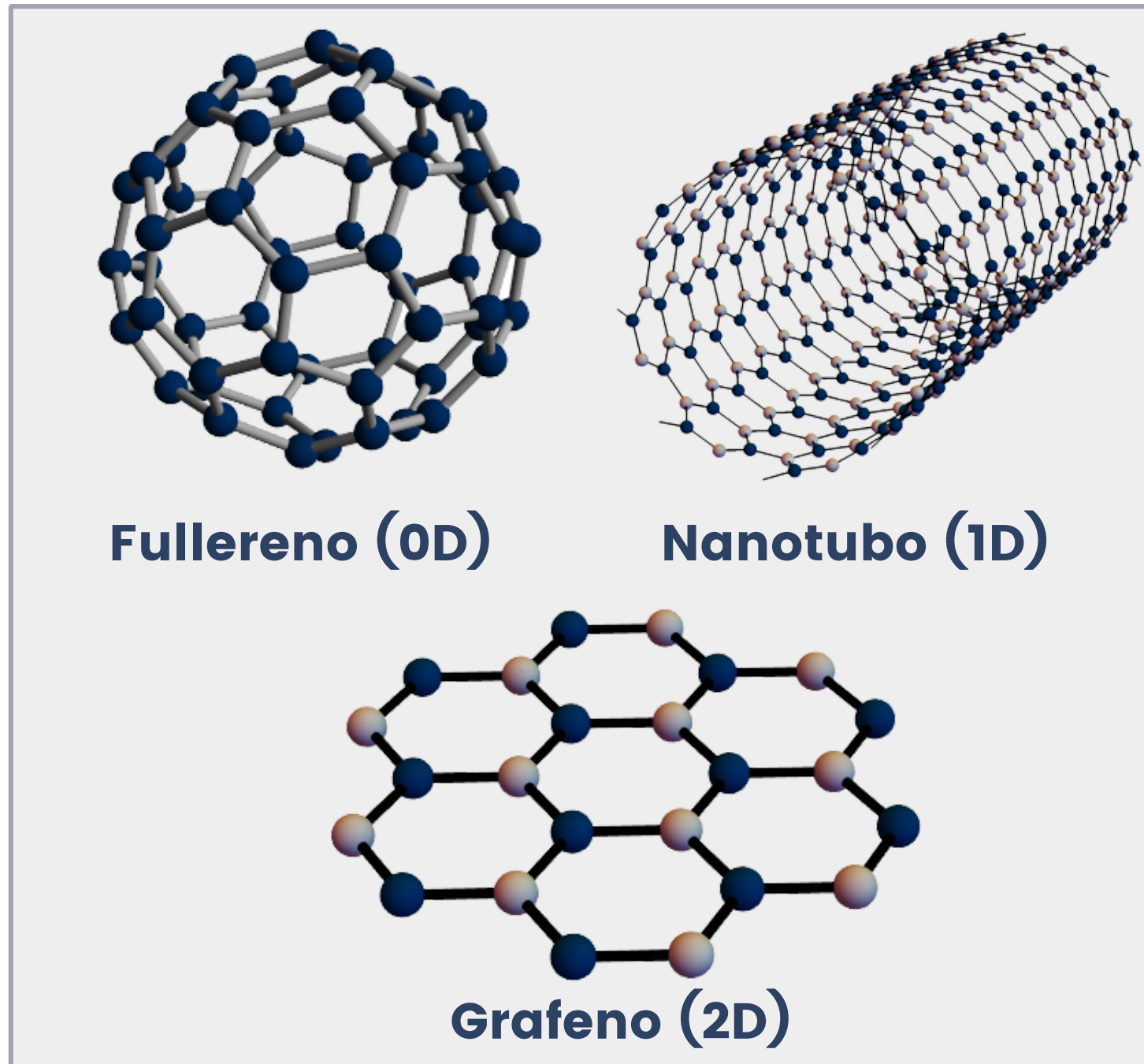
EXCELENCIA  
SEVERO  
OCHOA  
2017-2021



## Tabla de Contenido

	Página	
I	Introducción	3
II	Grafeno prístino	5
III	Modelos topológicos en grafeno	7
IV	Propiedades topológicas de grafeno	11
V	Sistemas finitos	14
VI	Conclusiones	18

## Estructuras del carbono



El grafeno cuenta con interesantes propiedades experimentales y teóricas

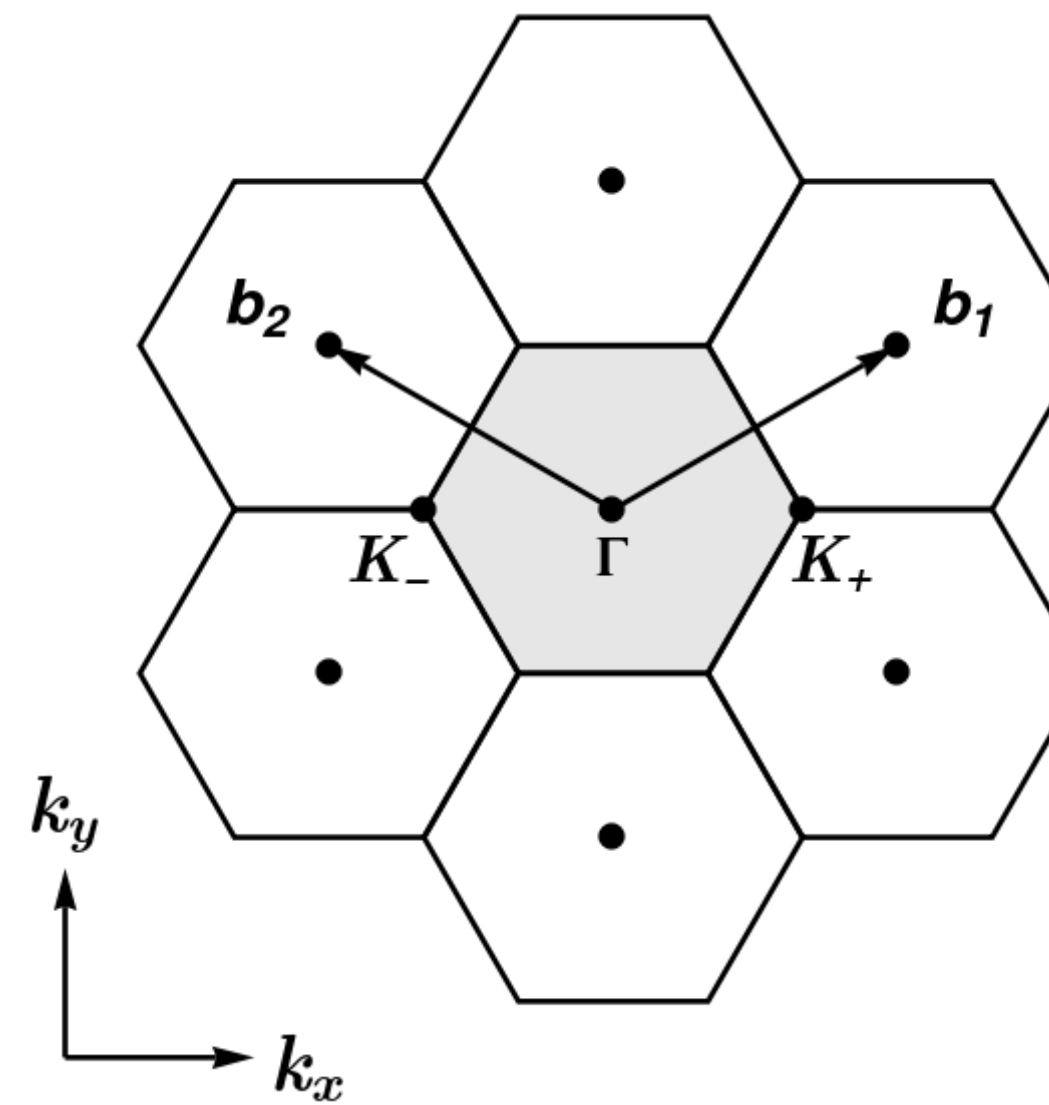
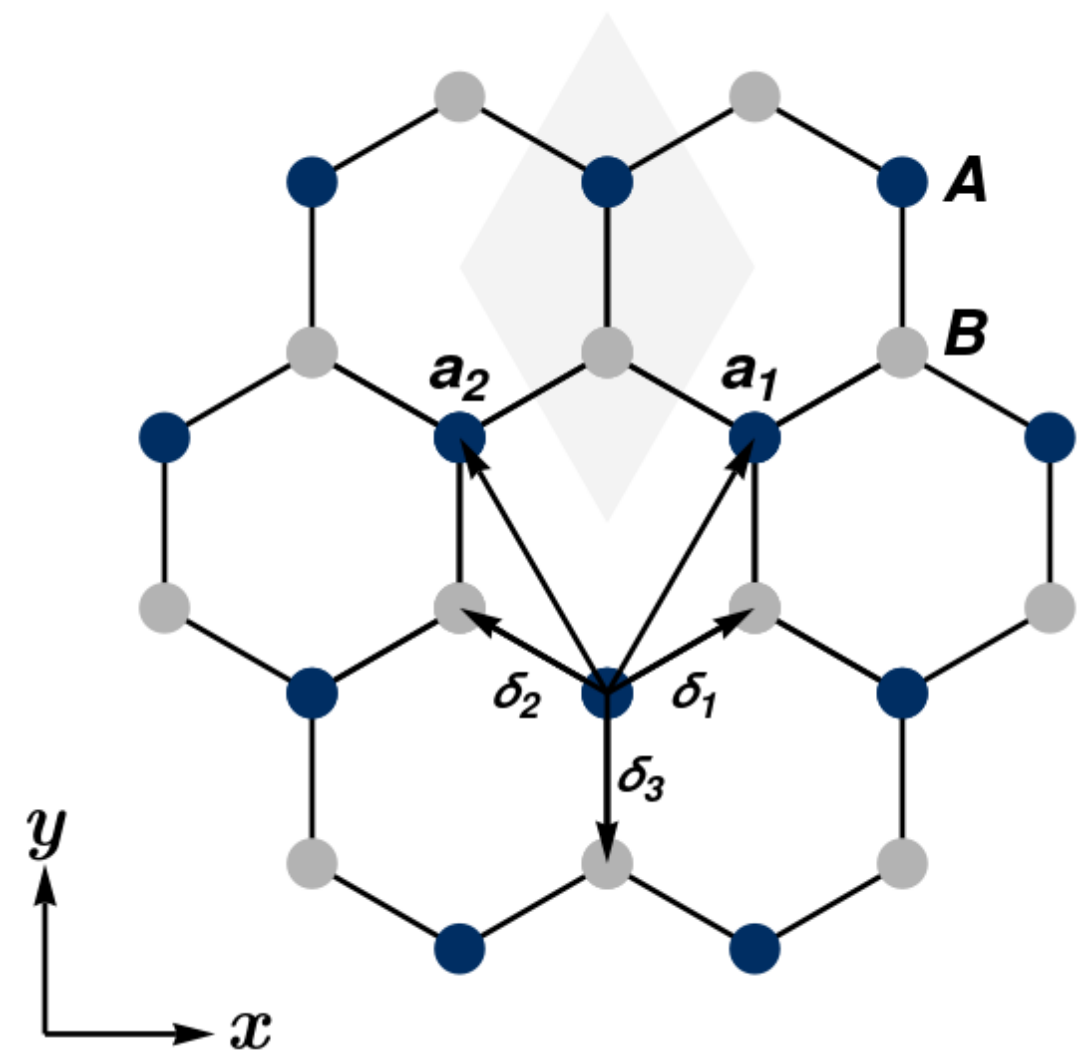
Las propiedades teóricas del grafeno son un puente entre la Física de la Materia Condensada y la Física de Altas Energías.

- K. S. Novoselov, et al., *Science* **306**, 666 (2004).
- K. S. Novoselov, et al., *PNAS* **102**, 10451 (2005)
- A. H. Castro Neto, et al., *RMP* **81**, 109 (2009).
- K. S. Novoselov, et al., *Nat.* **438**, 197 (2005)

## Objetivo general

Explorar las propiedades topológicas de estructuras cristalinas hexagonales. Describiendo los diferentes sistemas obteniendo soluciones analíticas exactas y además mediante soluciones numéricas. Los casos a estudiar son el grafeno prístico, grafeno con masa y el modelo de Haldane.

## Estructura cristalina

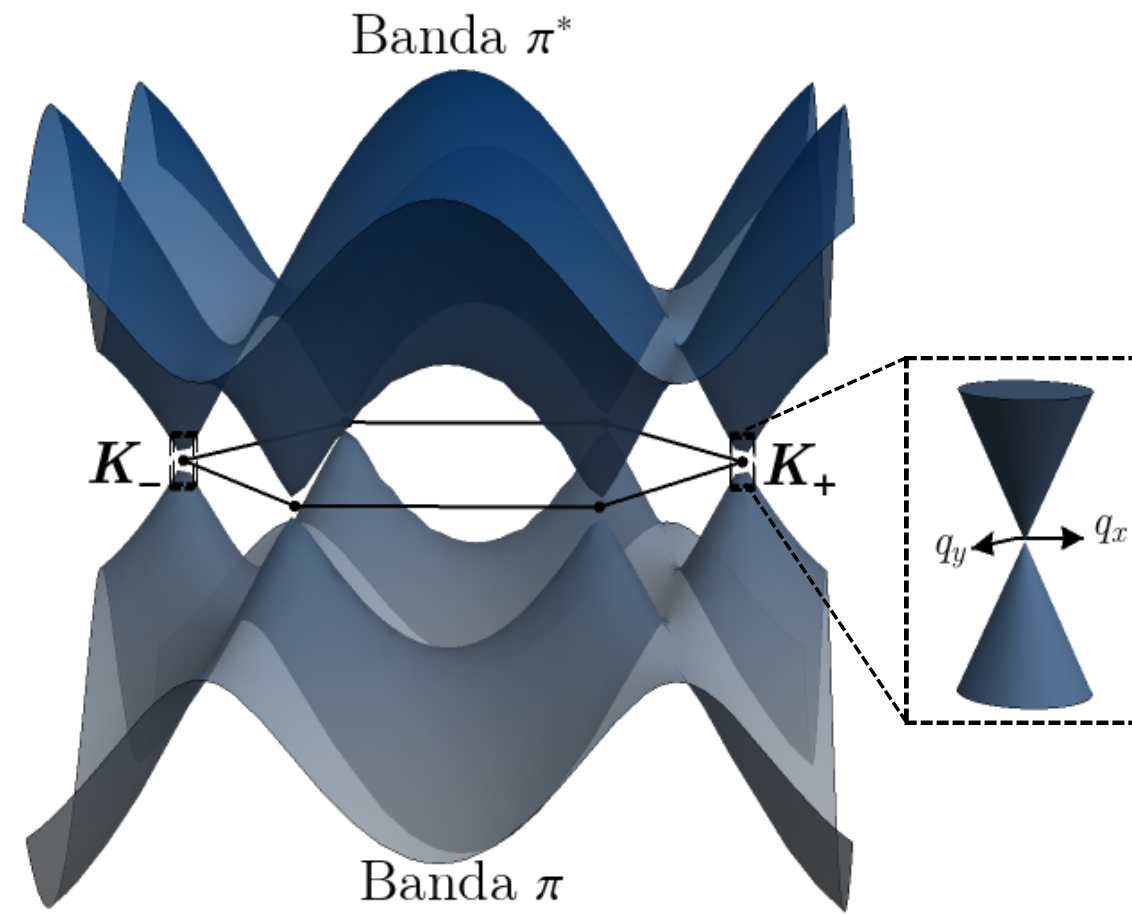


$$\mathbf{K}_{\pm} = \left( \pm \frac{4\pi}{3\sqrt{3}a}, 0 \right)$$

Puntos de Dirac

- P. R. Wallace, PR 71, 622 (1947).
- A. H. Castro Neto, et al., RMP 81, 109 (2009).

# Modelo de amarre fuerte



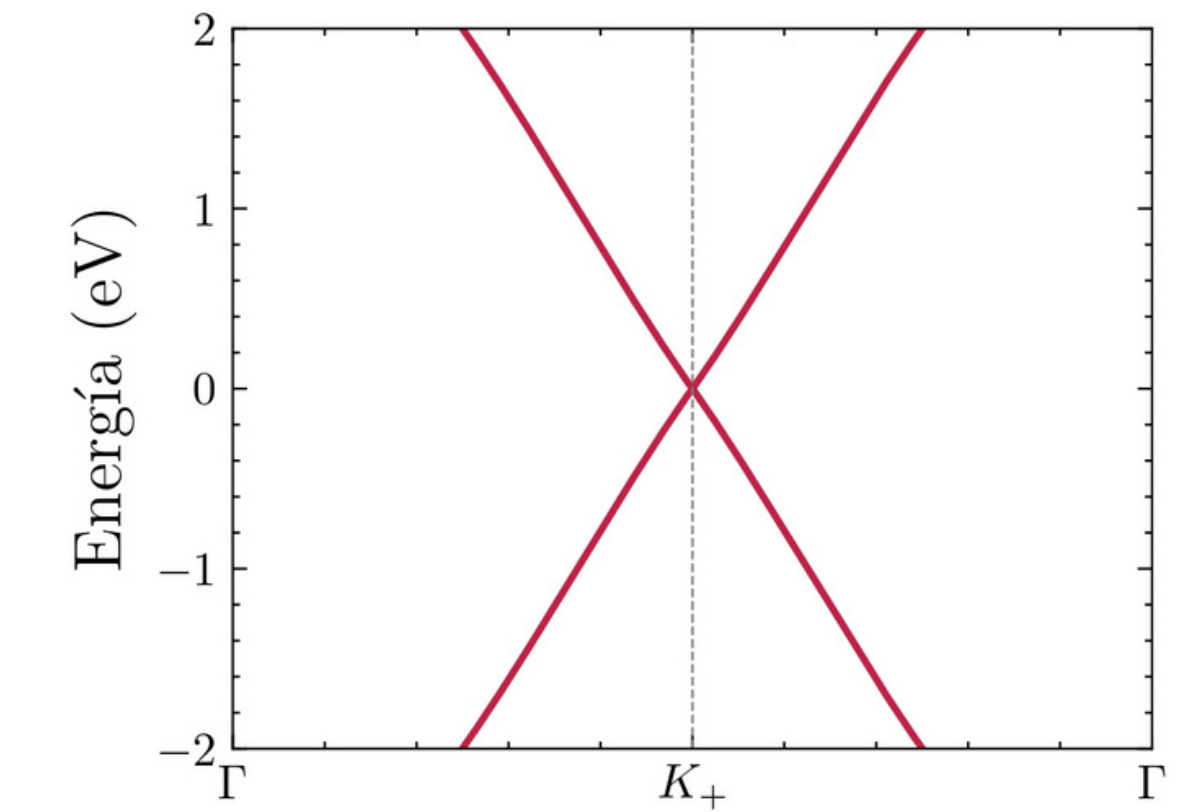
Hamiltoniano de amarre fuerte

$$H = -t \sum_{\mathbf{r}} \sum_{n=1}^3 a_{\mathbf{r}}^\dagger b_{\mathbf{r}+\delta_n} + \text{H.c.}$$

Hamiltoniano de Dirac

$$\mathcal{H}_\xi(\mathbf{q}) = v_F \ \mathbf{p} \cdot \boldsymbol{\sigma}_\xi$$

Matrices de Pauli



Relación de dispersión  
alrededor de  $\mathbf{K}$

- P. R. Wallace, PR 71, 622 (1947).

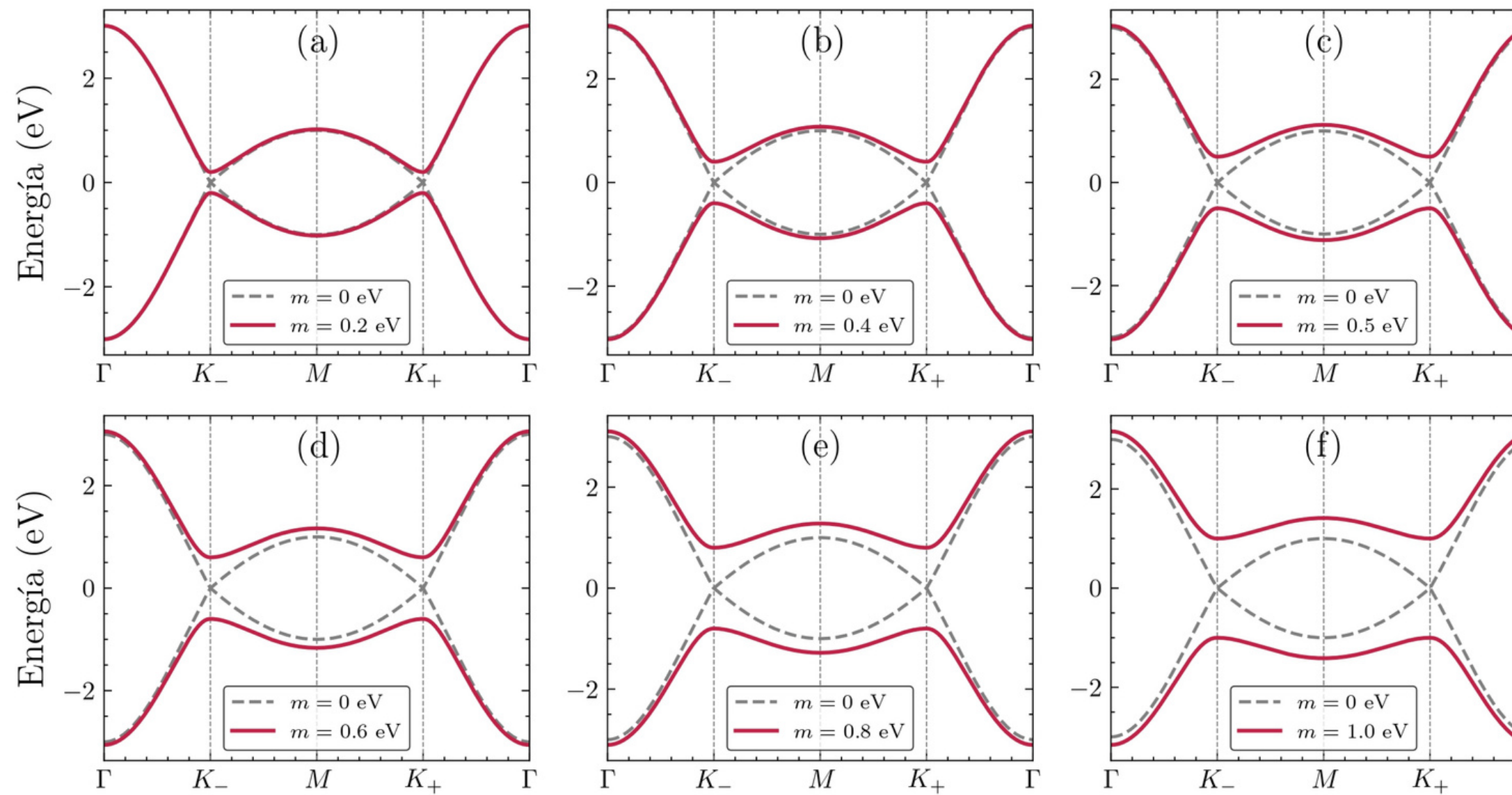
- A. H. Castro Neto, et al., RMP 81, 109 (2009).

- C. Bena et al., NJP 11, 095003 (2009).

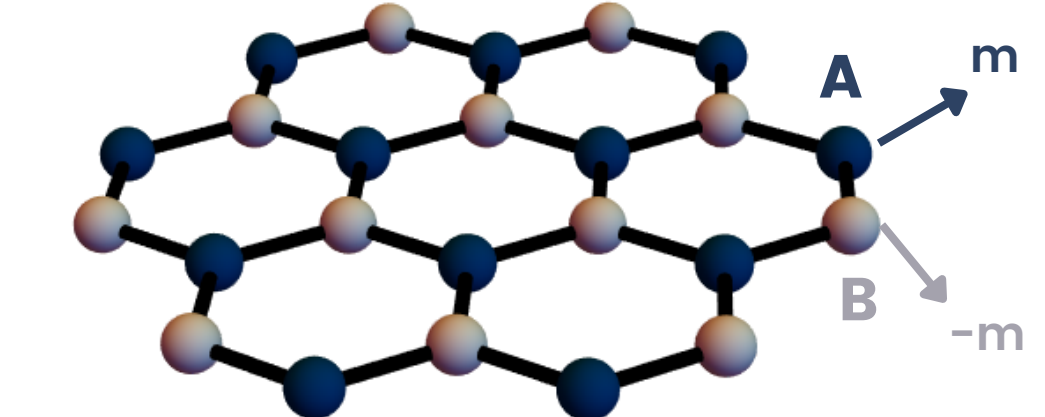
- S. Reich, et al., PRB 66, 035412 (2002).

- J. Cayssol et al., JPM 4, 034007 (2021).

## Grafeno con masa



En el grafeno con masa se añaden energías de sitio  $-m$  y  $m$  en los átomos A y B que respectivamente.



### Estructura de bandas electrónicas del grafeno con masa

- G. W. Semenoff, PRL 53, 2449 (1984).
- G. G, et al., PRB -CMMP 76, 073103 (2007).
- R. Balog, et al., NM 2010 9:4 9, 315 (2010).
- G. Cassabois, et al., NP 4 10, 262 (2016).
- S. Y. Zhou, et al., NM 6, 770 (2007).

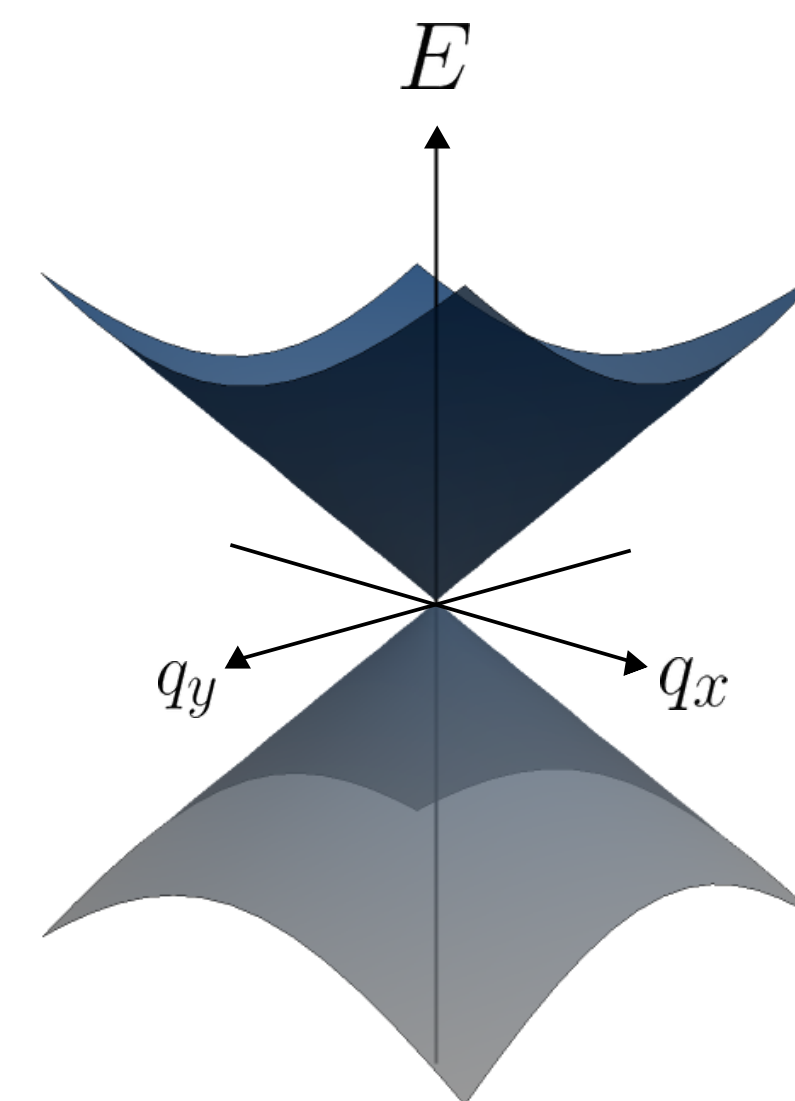
## Grafeno con masa

### Fermiones de Dirac con masa

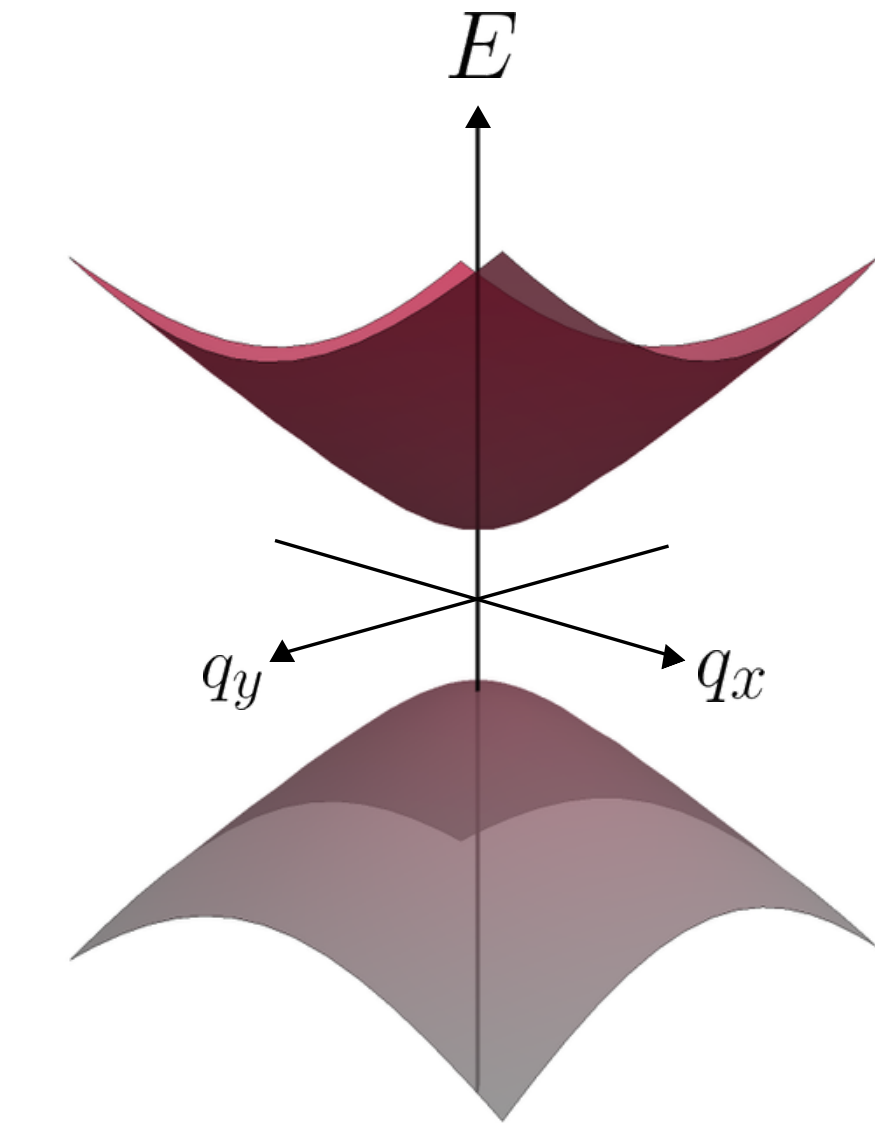
Hamiltoniano de Dirac

$$\mathcal{H}_\xi(\mathbf{p}) = v_F \mathbf{p} \cdot \boldsymbol{\sigma}_\xi + m\sigma_z$$

Si los electrones desarrollan una masa, entonces esto implica la existencia de una brecha de energía



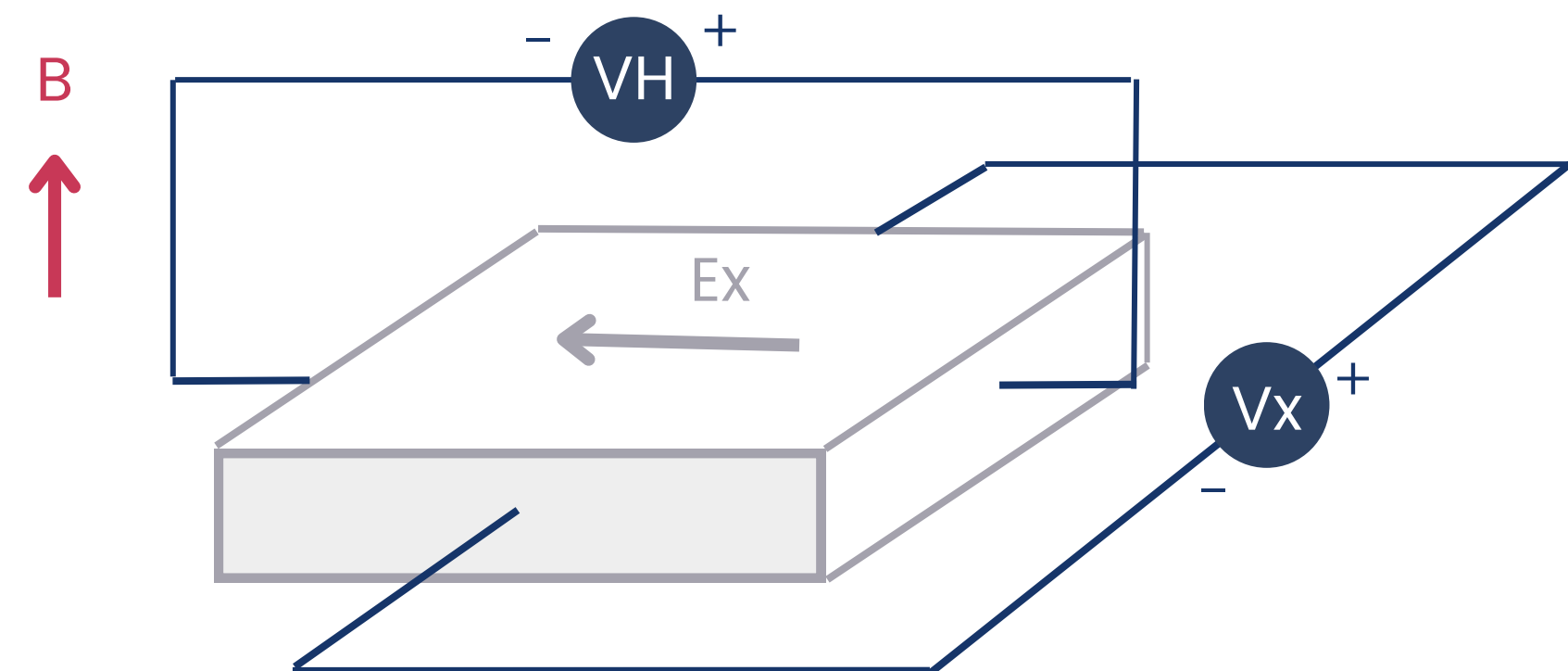
**Relación de dispersión  
de grafeno prístino**



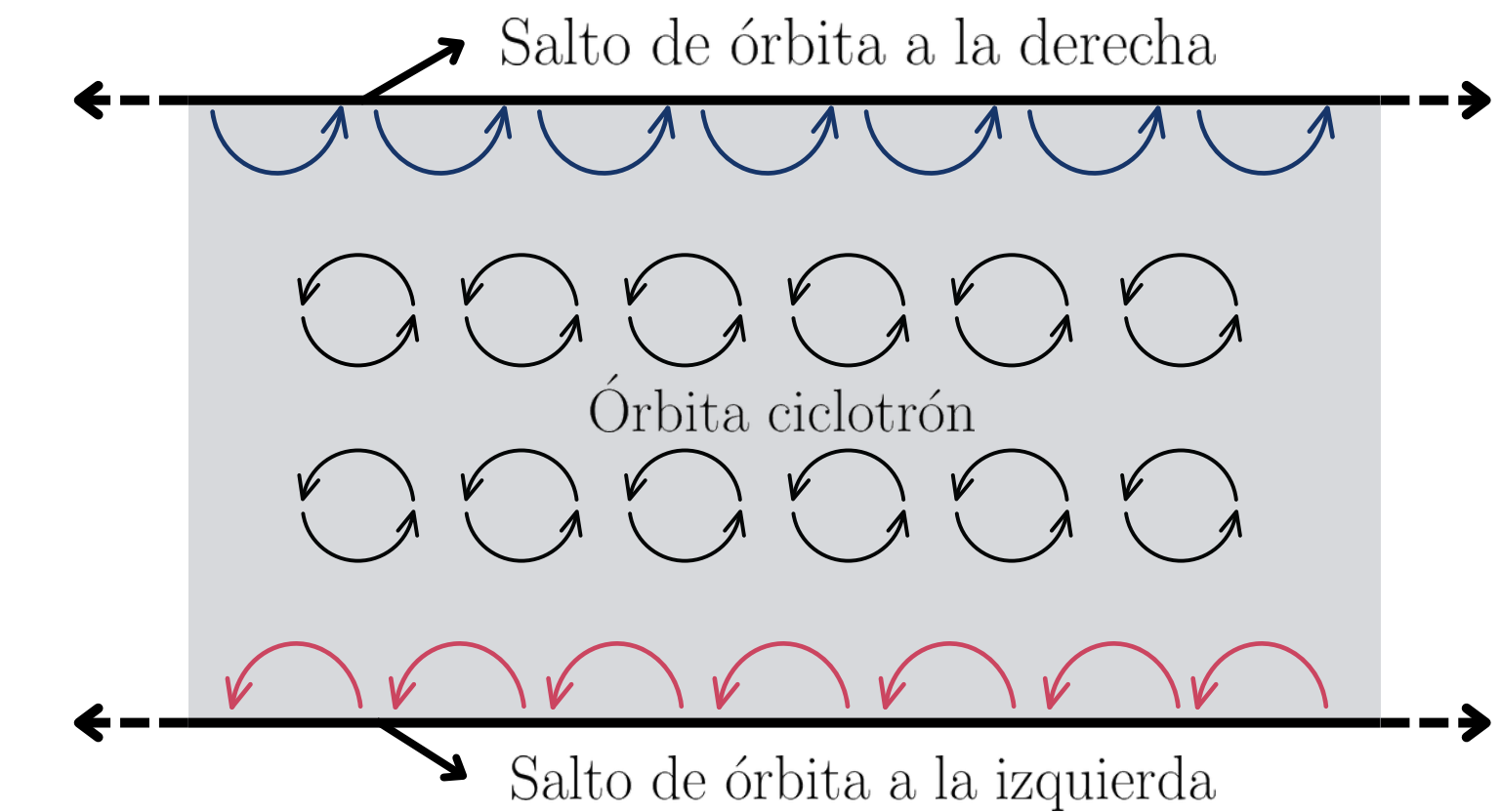
**Relación de dispersión  
de grafeno con masa**

- M. S. Fuhrer, Science 340, 1413 (2013).
- B. Hunt, et al., Science 340, 1427 (2013)

## Modelo de Haldane



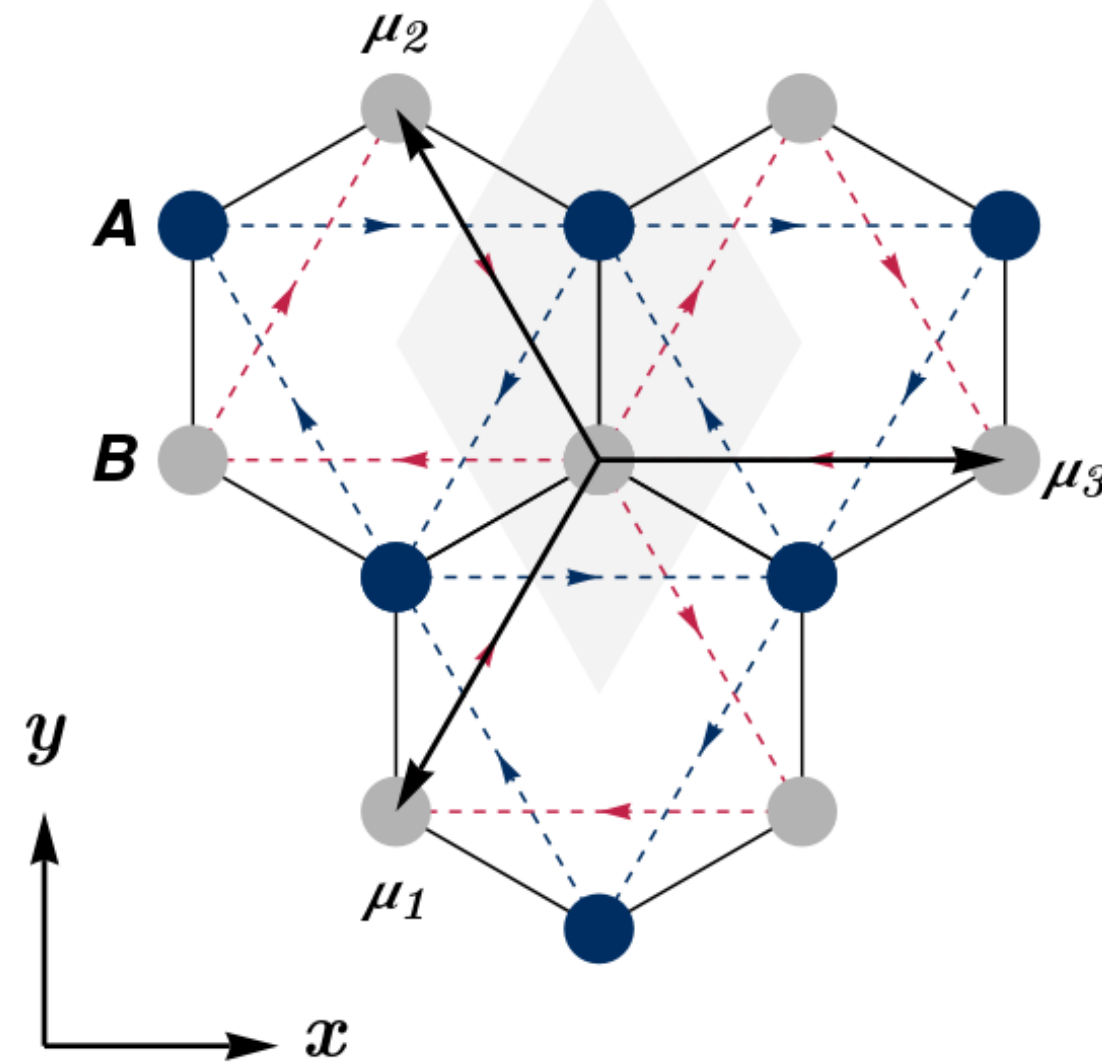
Efecto Hall clásico



Estados de borde en efecto Hall cuántico

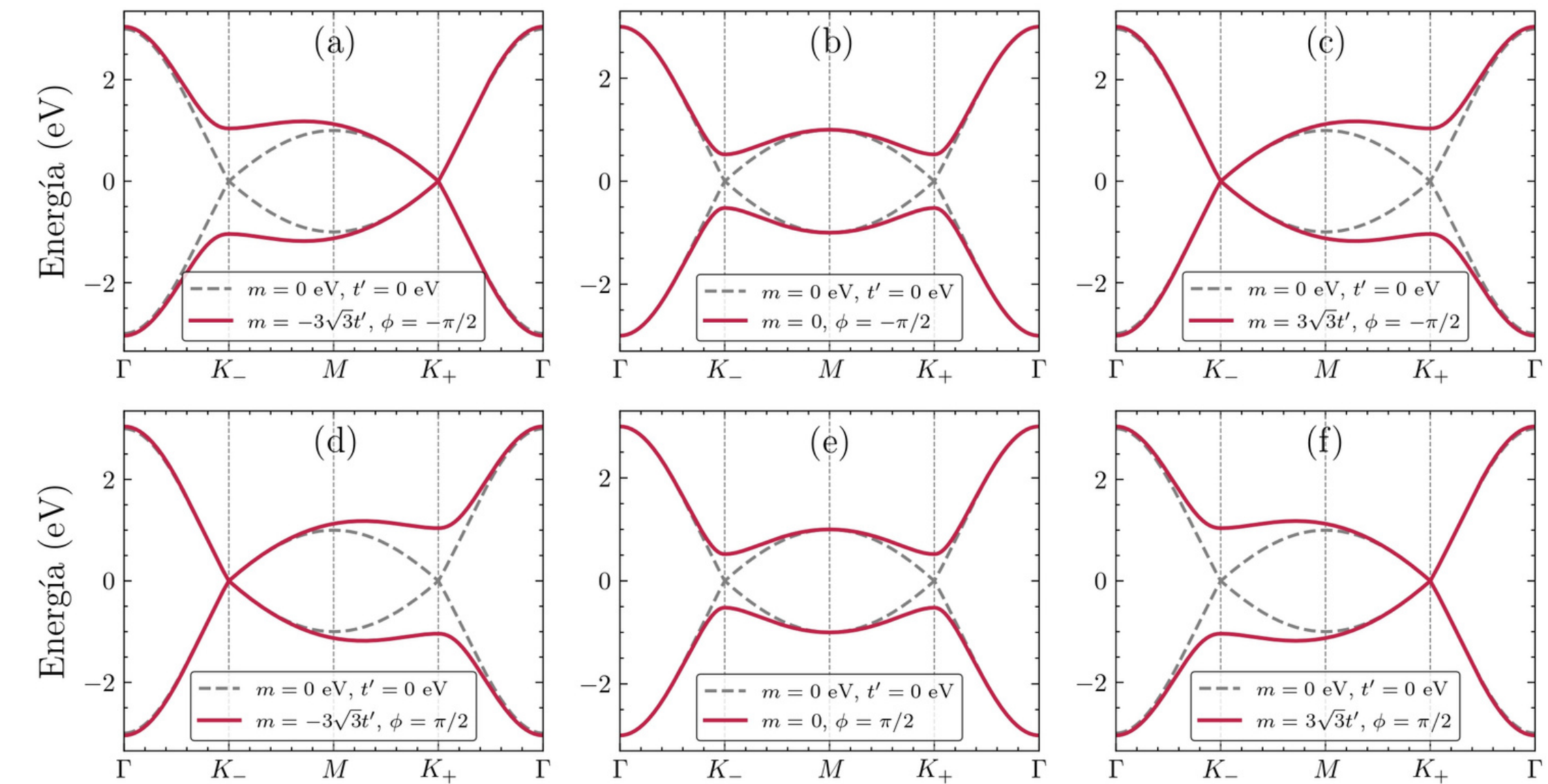
- K. V. Klitzing, et al., PRL 45, 494 (1980).
- D. J. Thouless, et al., PRL 49, 405 (1982).
- F. D. Haldane, PRL 61, 2015 (1988).

## Modelo de Haldane



**Patrón de saltos a segundos vecinos**

- F. D. Haldane, PRL 61, 2015 (1988).
- N. Hao, et al., PRB 78, 075438 (2008).

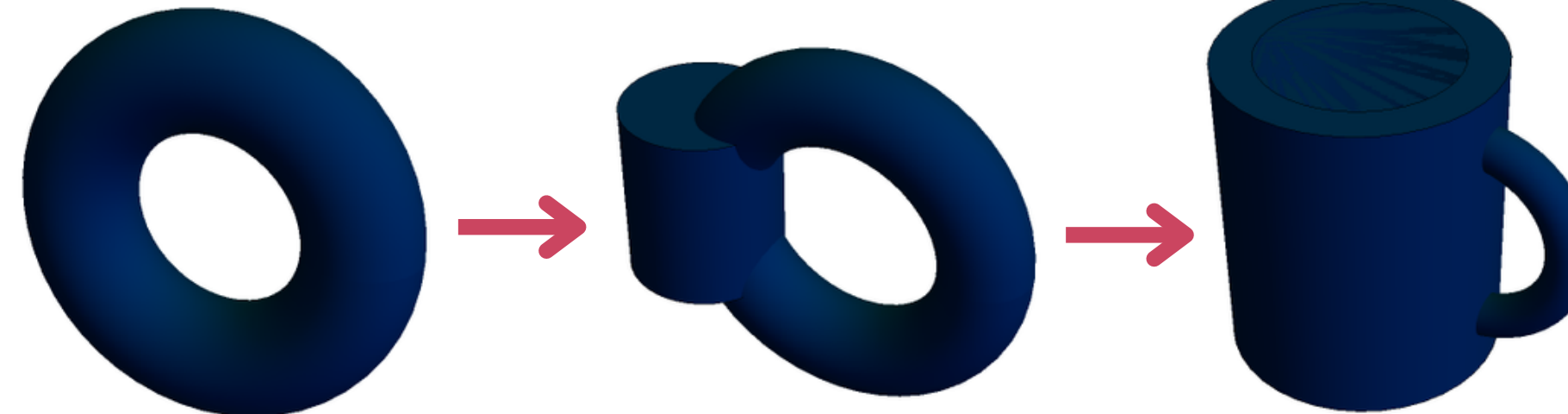


**Estructura de bandas electrónicas del modelo de Haldane**

- C. Z. Chang, et al., Science 340, 167 (2013).
- G. Jotzu, et al., Nature 515, 237 (2014).

- H. S. Kim et al., QM 2017 2:1 2, 1 (2017)

## Teoría geométrica de bandas



Ejemplo típico en topología

$$\sigma_{xy} = \frac{e^2}{\hbar} \nu, \quad \nu \in \mathbb{Z} \quad \sigma_{xy} = \frac{e^2}{\hbar} \sum_{\alpha} \gamma^{\alpha}$$

Conductividad Hall

- D. Xiao, et al., RMP 82, 1959 (2010).
- K. V. Klitzing, et al., PRL 45, 494 (1980).

- R. B. Laughlin, PRB 23, 5632 (1981).
- D. J. Thouless, et al., PRL 49, 405 (1982).

Fase de Berry

$$\gamma^{\alpha} = \frac{1}{2} \int_S \Omega_{\mu\nu}^{\alpha} dk^{\mu} \wedge dk^{\nu}$$

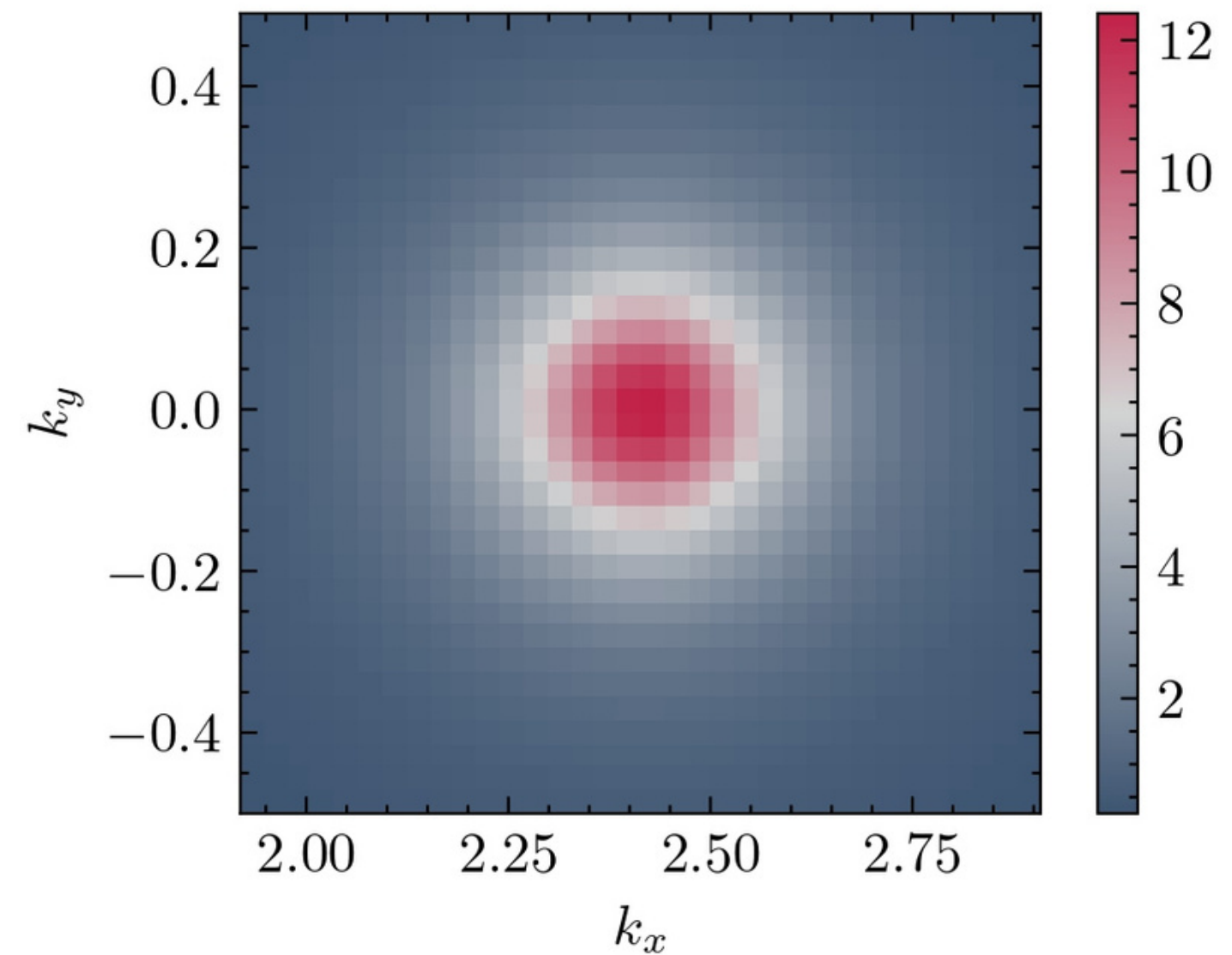
Número de Chern

$$C^{\alpha} = 2\pi\gamma^{\alpha}$$

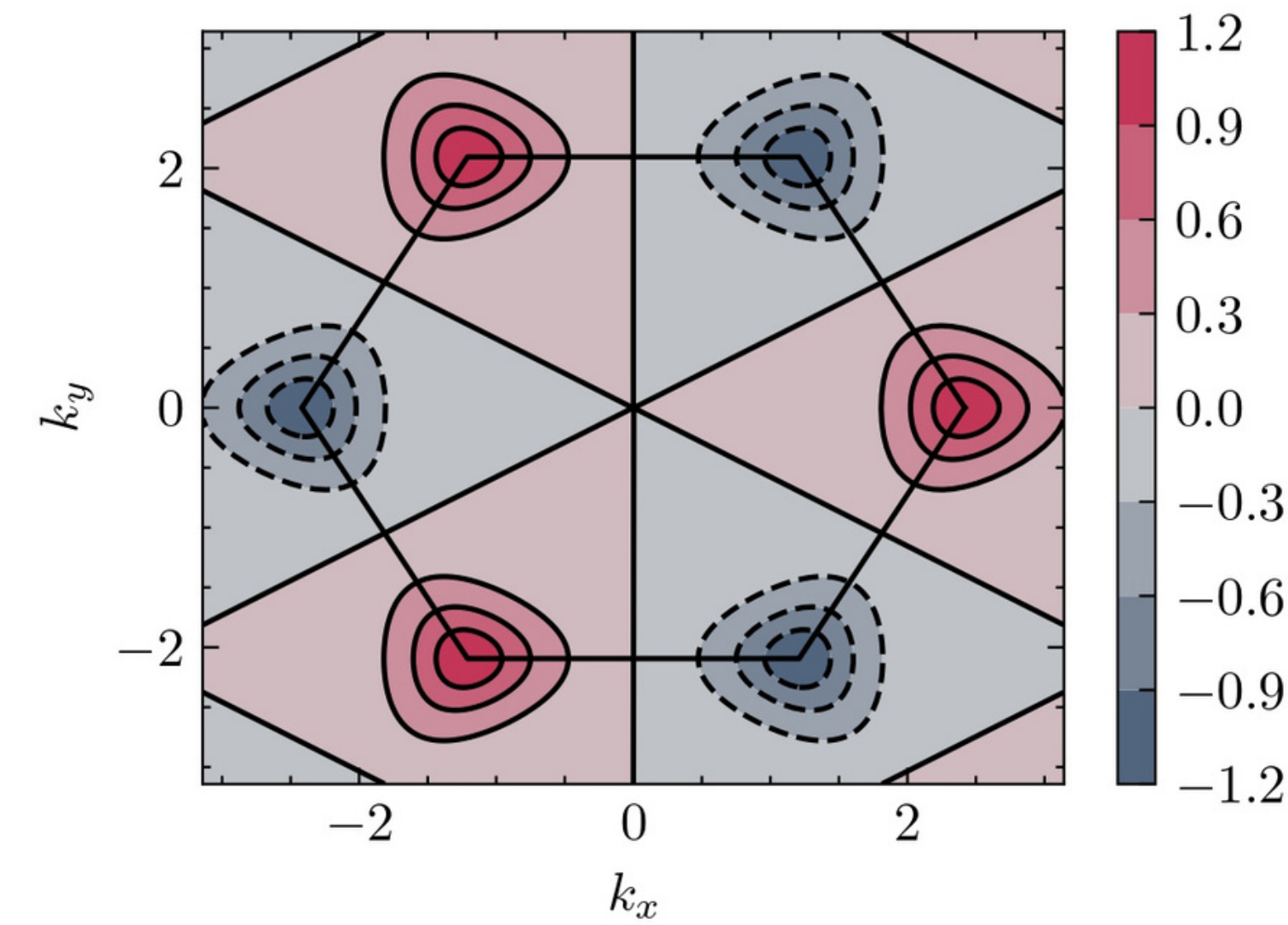
El número de Chern tiene gran relevancia, debido a que está intrínsecamente relacionado con los estados de borde en materiales finitos.

## Número de Chern

### Grafeno prístino y grafeno con masa



**Curvatura de Berry de grafeno prístino**

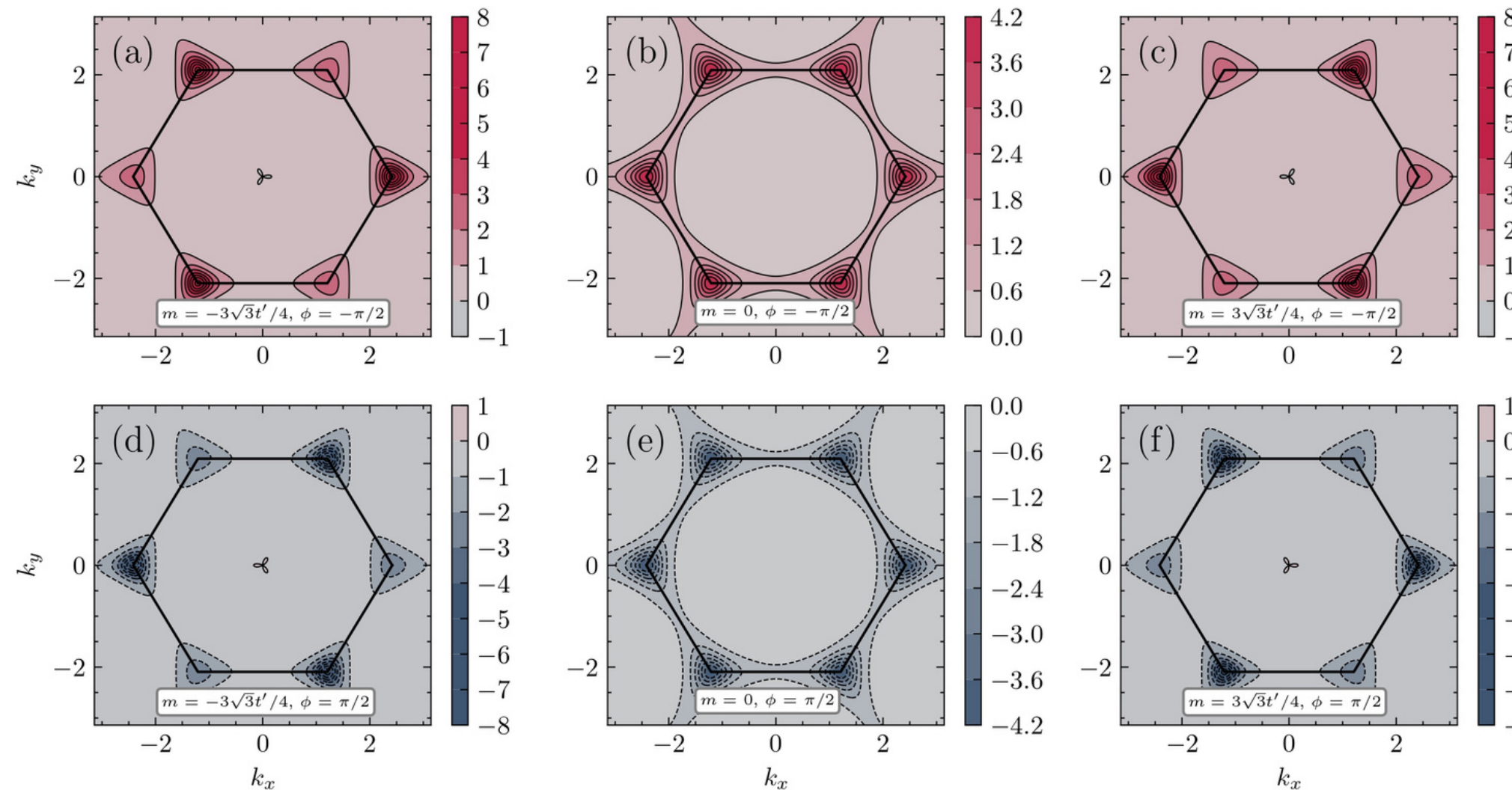


**Curvatura de Berry de grafeno con masa**

- Y. Zhang, et al., Nature 438, 201 (2005).
- C. Hwang, et al., PRB 84, 125422 (2011).

# Número de Chern

## Modelo de Haldane



Curvatura de Berry

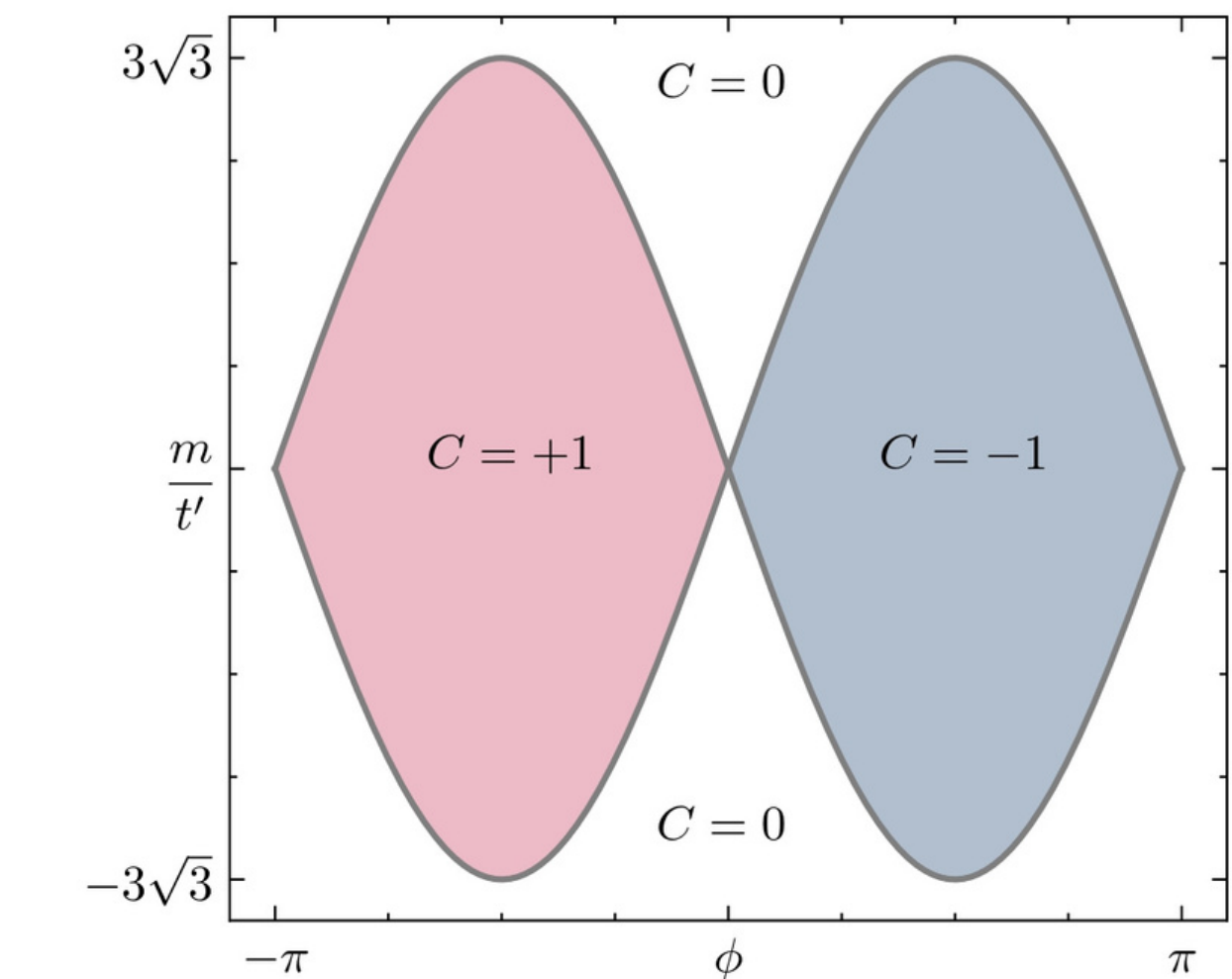
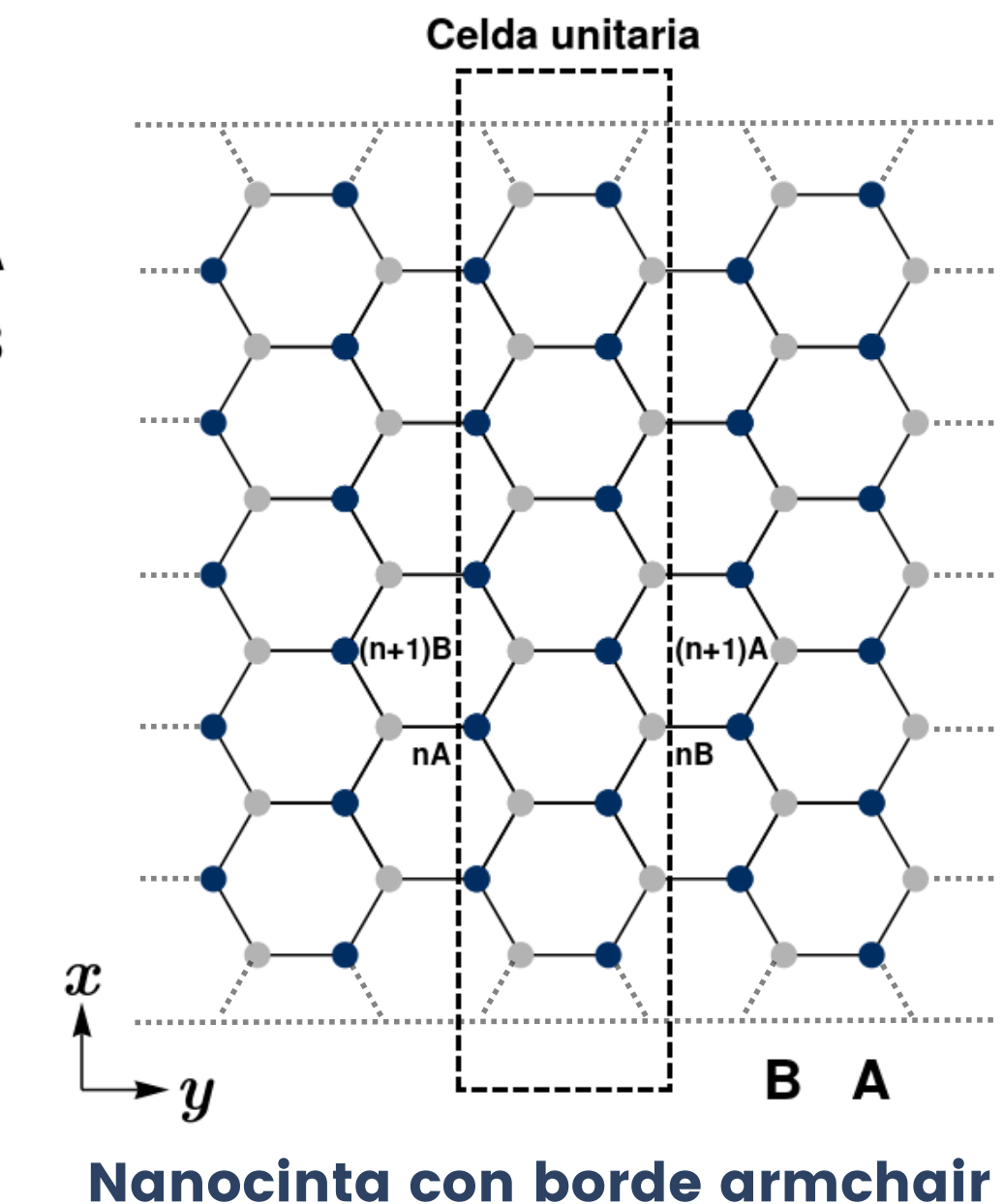
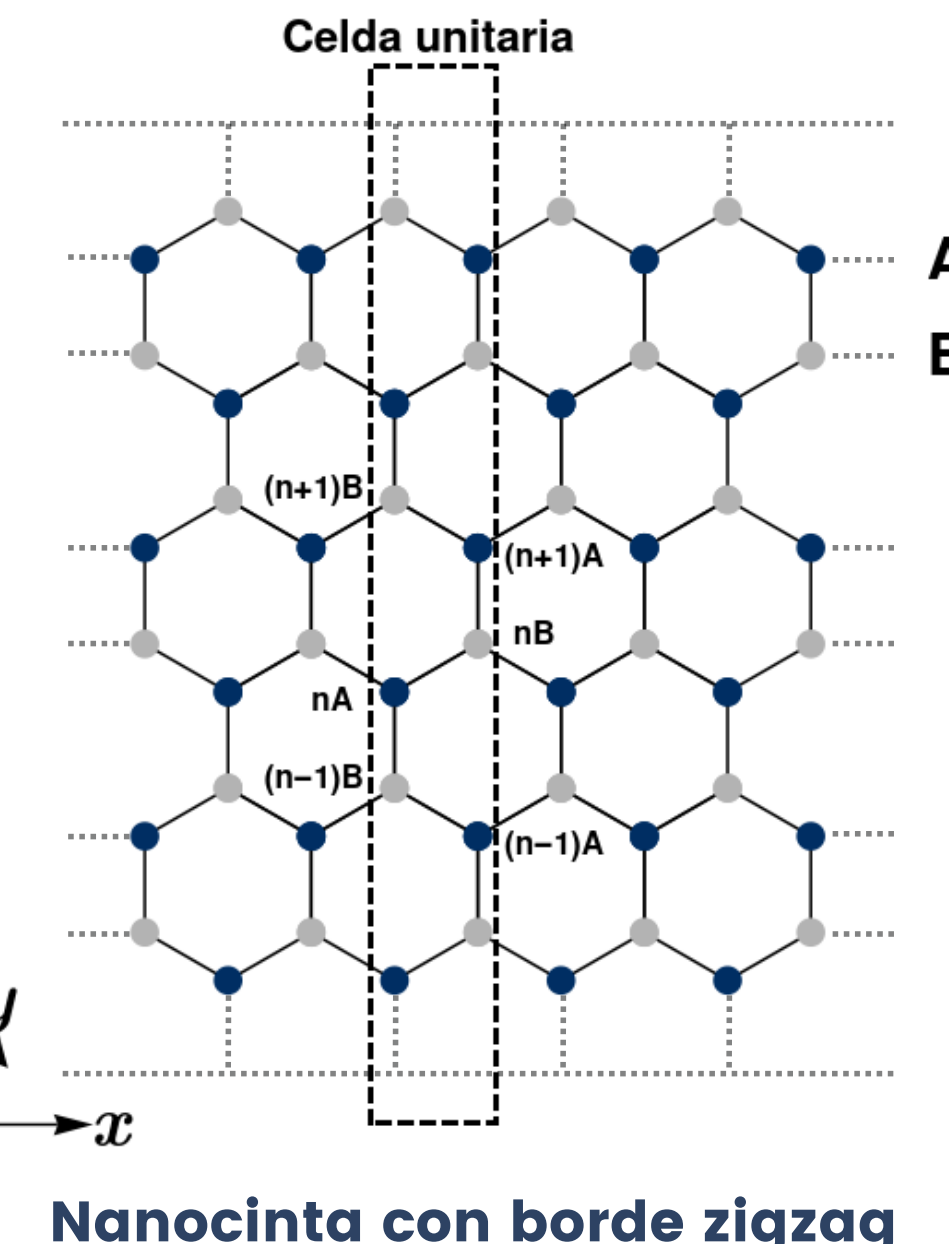
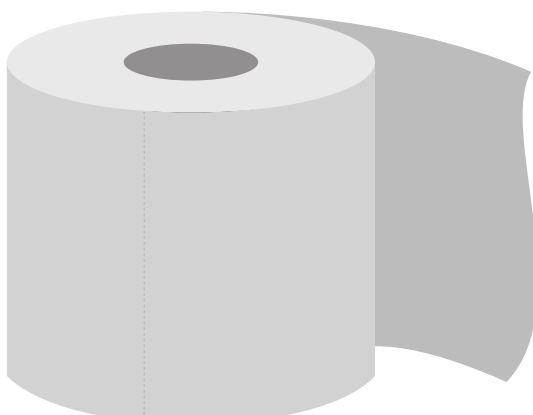


Diagrama de fase

- D. Sticlet, et al., PRB 85, 165456 (2012).
- C.-H. Lin et al., JPC 2, 085014 (2018).

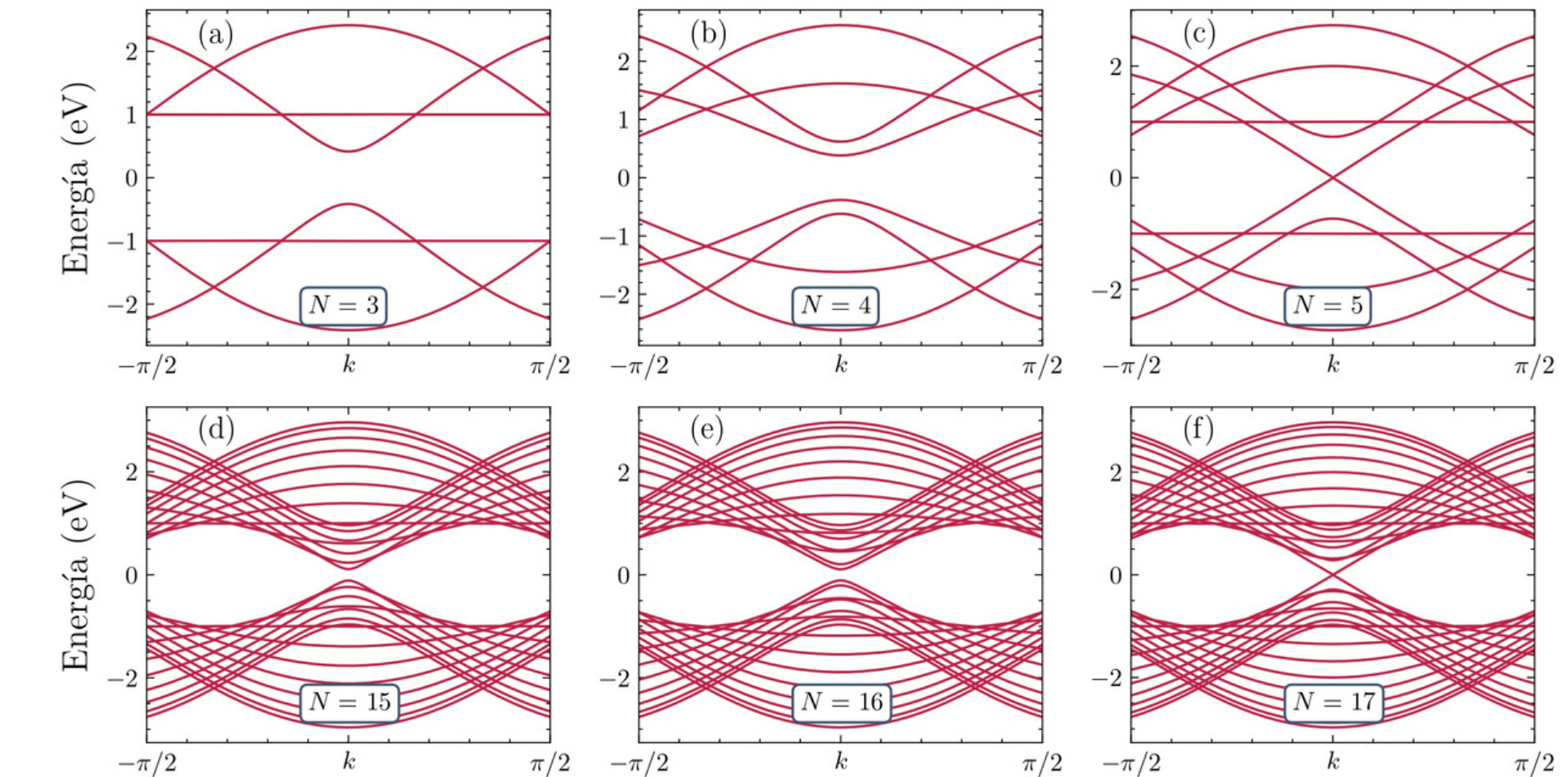
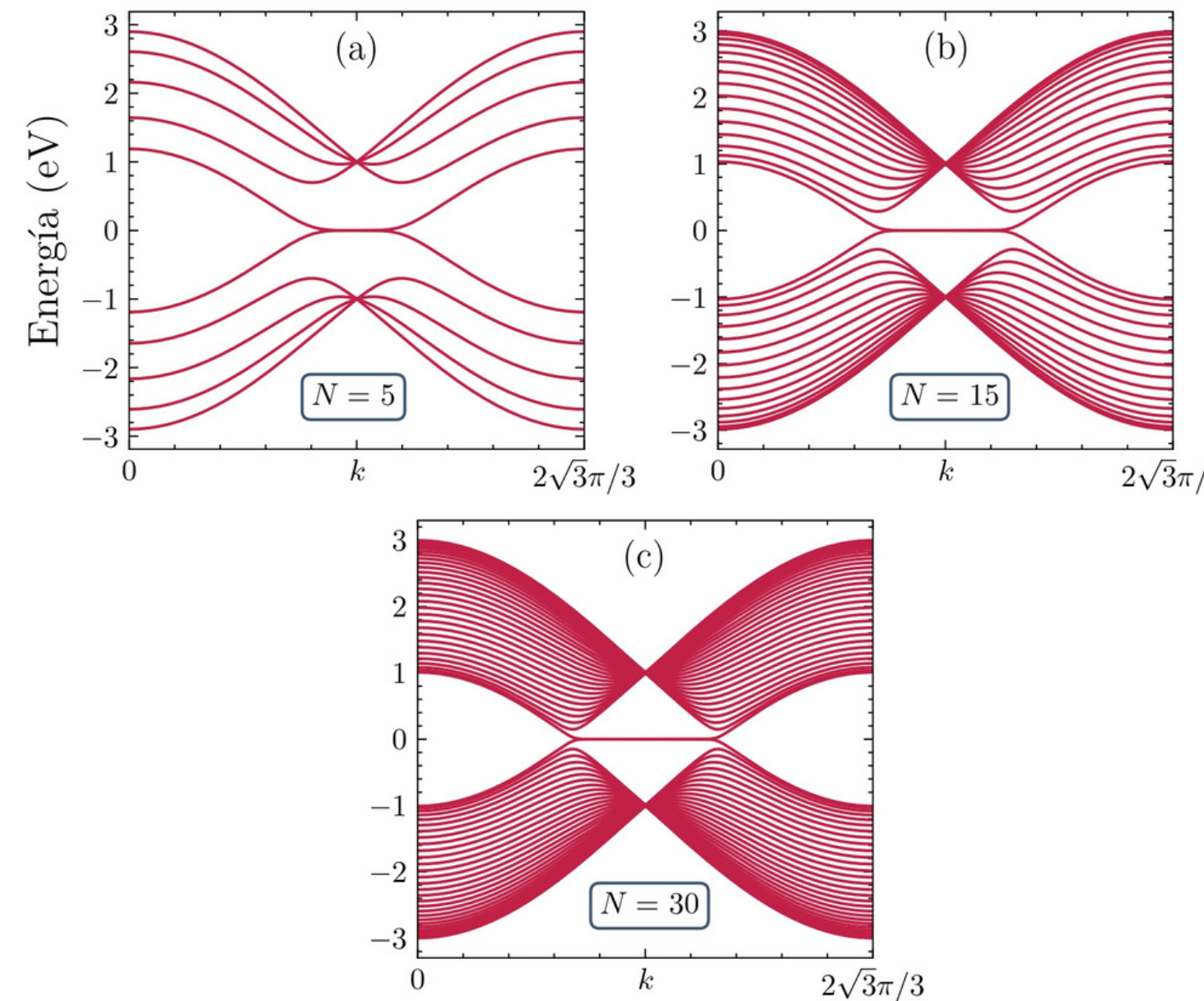
# Nanocintas de grafeno

Las nanocintas son redes periódicas en una dirección pero finita en la otra. Podemos imaginarlo como un rollo de papel



- M. Fujita, et al. JPSJ **65**, 1920 (1996).
- K. Nakada, et al., PRB **54**, 17954 (1996).
- K. Wakabayashi, et al., PRB **59**, 8271 (1999).
- C. H. Chiu et al., PRB **85**, 155444 (2012).
- P. A. Maksimov, et al. PRB **88**, 245421 (2013).

# Nanocintas de grafeno

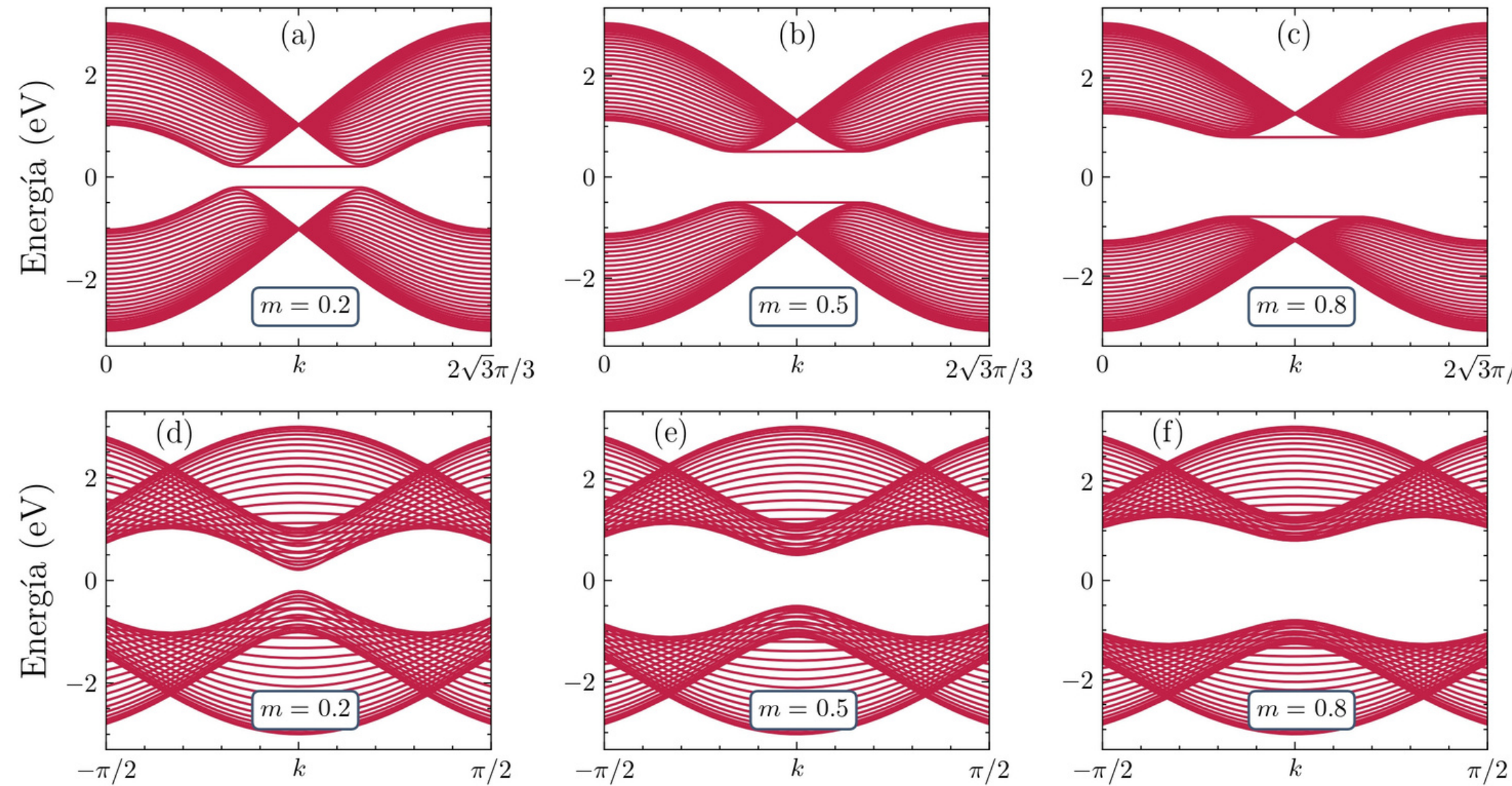


- M. Fujita, et al. JPSJ **65**, 1920 (1996).
- K. Nakada, et al., PRB **54**, 17954 (1996).

- K. Wakabayashi, et al., PRB **59**, 8271 (1999).
- C. H. Chiu et al., PRB **85**, 155444 (2012).

- P. A. Maksimov, et al. PRB **88**, 245421 (2013).
- K. Wakabayashi, et al., STAM **11**, 054504 (2010).

## Nanocintas de grafeno con masa

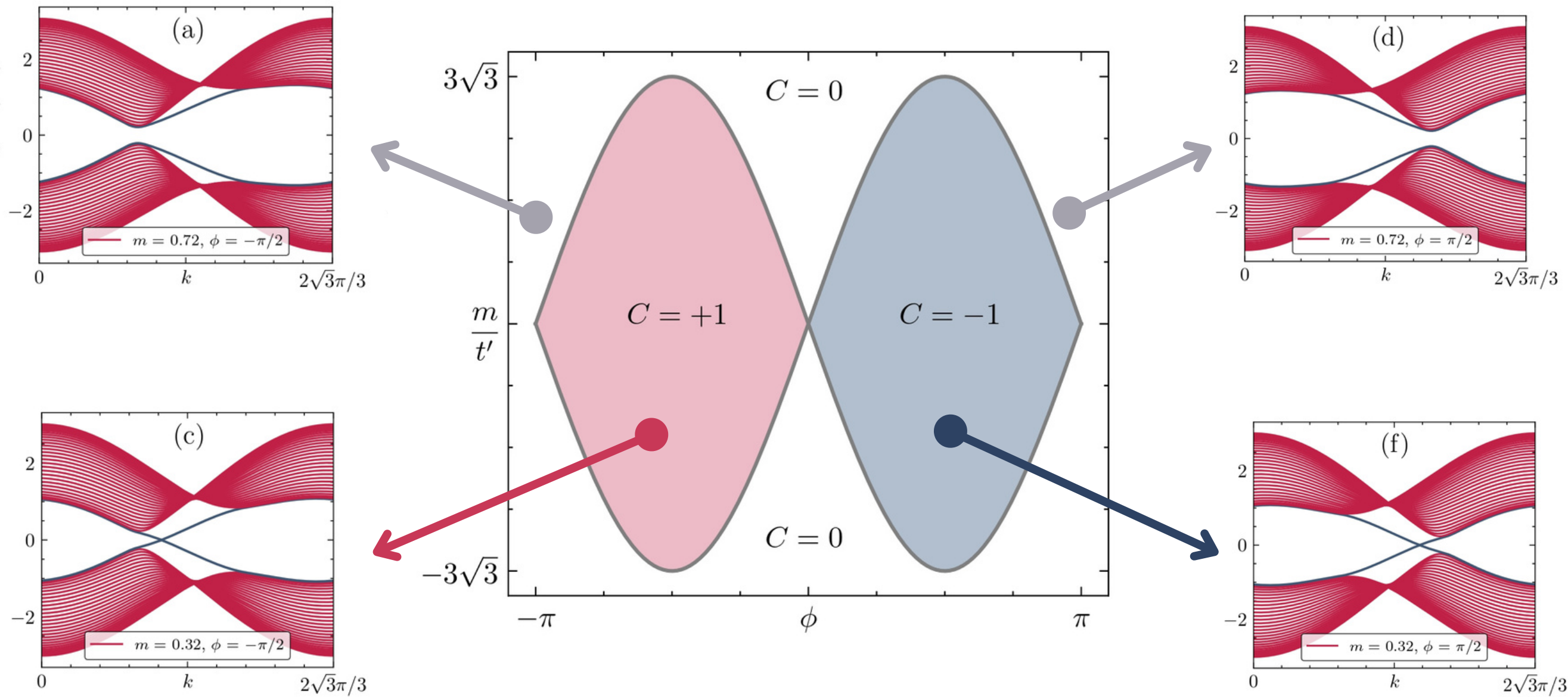


**Estructura de bandas con borde zigzag  
(superior) y con borde armchair (inferior)**

Esto confirma que el grafeno con masa es un aislante trivial.

# Correspondencia bulto-frontera

## Modelo de Haldane



- F. D. Haldane, PRL 61, 2015 (1988).
- N. Hao, et al., PRB 78, 075438 (2008).

## Conclusiones

En este trabajo se realizó un estudio detallado de las propiedades electrónicas y topológicas de tres tipos de sistemas de grafeno, prístico, con masa y tipo Haldane. Se encontraron soluciones analíticas para la estructura de bandas y sus correspondientes funciones de onda. La fase de Berry y su correspondiente número de Chern se obtuvieron analíticamente y numéricamente para describir las diferentes fases topológicas de cada sistema.

Adicionalmente, se estudió cada sistema en su representación finita y se describió la correspondencia bulto-frontera. Se evidenció que las propiedades topológicas de cada sistema están relacionadas con la existencia o no de estados de borde.

Finalmente, el estudio profundo de las propiedades de materiales bidimensionales es importante para su aplicación en tecnología y permite una mejor comprensión de los fenómenos físicos en sistemas complejos. Aunado a esto, el nivel de detalle con el que se ha descrito cada sistema, permite una comprensión más profunda y sistemática de sus propiedades topológicas y electrónicas.



Universidad  
Autónoma  
de Coahuila



instituto  
**imdea**  
nanociencia

EXCELENCIA  
SEVERO  
OCHOA  
2017-2021

# ¡Muchas gracias!

